

奉化—蔚珍地域의 錫, 重石礦化作用

朴喜寅* · 李商萬*

Tin, Tungsten Mineralization in Bonghwa-Uljin Area

Hee-In Park and Sang Man Lee

Abstract: The tin and tungsten deposits are embedded around the age unknown Buncheon granite gneiss which intruded the Precambrian schists, gneiss and amphibolites in Bonghwa-Uljin area.

Pegmatite dike swarm developed intermittently about 4km along the southern border of Buncheon granite gneiss at Wangpiri area. Thickness of pegmatite dikes range from 0.5 to 15m. Pegmatite is consisted of quartz, microcline, albite, muscovite and frequently topaz, tourmaline, garnet, fluorite, fluorapatite and lepidolite. Pegmatite dikes are greisenized, albitized and microclinized along dike walls. Cassiterites are irregularly disseminated through the intensely greisenized and albitized parts of the pegmatite. Cassiterite crystals are mainly black to dark brown and contain considerable Ta and Nb. Average Ta and Nb contents of the four cassiterite samples are 5300 and 3400 ppm.

The Ssangjeon tungsten deposits is embedded within the pegmatite dike developed along the northern contact of Buncheon granite gneiss with amphibolite. This pegmatite developed 2km along the strike and thickness varies from 10 to 40m. Mineral constituents of the pegmatite are quartz, microcline, plagioclase, muscovite, biotite, tourmaline and garnet. Ore minerals are ferberite and scheelite with minor amount of molybdenite, arsenopyrite, pyrrhotite, pyrite, chalcopyrite, sphalerite, galena, pentlandite, bismuthinite, marcasite, and fluorite. Color and occurrence of quartz reveals that quartz formed at three different stages; quartz I, the earliest milky white quartz formed as a rock forming mineral of simple pegmatite; quartz II, gray to dark gray quartz which replace the minerals associated with quartz I; quartz III, the latest white translucent quartz which replace the quartz I and II. All of the ore minerals are precipitated during the quartz II stage.

Fluid inclusion in quartz I and II are mainly gaseous inclusions and liquid inclusions are contained in quartz III and fluorite. Salinities of the inclusion in quartz I and II ranges from 4.5 to 9.5 wt. % and 5.1 to 6.0 wt. % equivalent NaCl respectively. Salinities of the inclusion in fluorite range from 3.5 to 8.3 wt. % equivalent NaCl. Homogenization temperatures of the inclusion in quartz I, II and III range from 415 to 465°C, from 397 to 441°C and 278 to 357°C.

Data gathered in this study reveals that tin and tungsten mineralization in this area are one of prolonged event after the pegmatite formation around Buncheon granite gneiss.

序言

奉化—蔚珍地域에는 錫礦床이 密集되어 있고 比較的 規模가 큰 重石礦床들이 賦存하고 있어 우리 나라의 重要한 重石, 錫礦化帶 中의 하나이다. 이 地域에서 重石礦床으로 重要한 것으로는 玉房礦山, 雙田礦山 等이 있고, 錫礦石를 生產한 實績이 있는 矿山으로는 王避里一圓의 蔚珍礦山(舊 王避里礦山과 藏財礦山 包含), 유창礦山, 銅錫礦山(舊 三德礦山) 等이 있다.

이 地域의 地質 · 鐵床에 對하여는 지금까지 여러 地質學者들에 依하여 研究發表된 바 있다. 이 地域의 地質 · 鐵床의 全般에 對하여는 三斤地質圖幅 및 同說明書(金玉準 외 1963)가 發刊되어 있다. 玉房重石礦床은 李商萬(1967), 金玉準(1969) 및 尹正守(1979)에 依하여 研究되었으며, 雙田重石礦床에 對하여는 金善億 等(1979)에 依하여 研究되었다. 錫礦床에 對하여는 金正澤 等(1966)과 金洙鎮(1977)의 研究가 있다.

이 研究에서는 重石礦床으로 雙田重石礦床을, 錫礦

床으로는 王避里一圓에 있는 위에 열거한 鐵床들을 對象으로하여 鐵床의 產出狀態, 花崗片麻岩의 岩石化學, 鐵石의 鐵物組成과 鐵物共生關係, 流體包有物 등을 檢討하여 이 地域의 重石, 錫鐵化作用의 特徵을 考察하여 보았다.

이 研究는 1981年度 文教部 學術研究助成費에 依하여 이루어졌음을 銘記하고 이에 深甚한 謝意를 表하는 바이다.

地質概要

i) 地域의 地質은 先祖勃列亞時代의 遠南層, 東水谷層, 將軍石灰岩層, 栗里統에 屬하는 地層들과 時代未詳의 角閃岩, 汾川花崗片麻岩, 酸性 및 中性脈岩等으로 되어 있다. (Fig. 1, 2)

遠南層은 이 地域의 最下位에 놓인 地層으로 岩石은 繖狀片麻岩, 眼球狀片麻岩, 雲母片岩 및 結晶質石灰岩으로 되어 있다. 東水谷層은 雲母片岩과 千枚岩으로 되어 있고 遠南層을 整合的으로 덮고 있다. 將軍石灰岩은 主로 石灰岩으로 構成되었으며 東水谷層과는 整合的의 關係를 갖는다. 栗里統은 將軍石灰岩을 不整合으로 덮고 있으며 主로 雲母片岩, 千枚岩과 變成砂質岩의 互層으로 되어 있고 石灰岩의 薄層을 갖는다. 이 地域의 角閃岩은 產出狀態와 化學組成上의 特徵으로 보아 火成源의 角閃岩으로 알려져 있다. 汾川花崗片麻岩

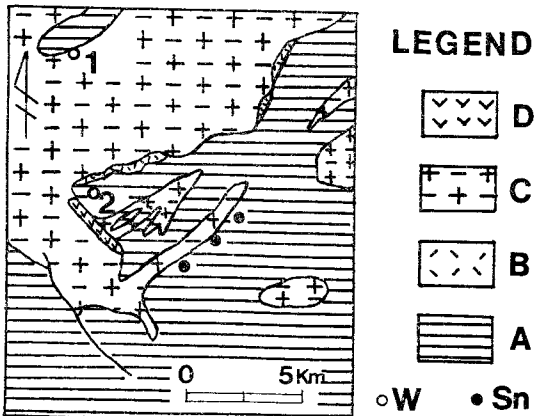


Fig. 1 Geologic map of Bonghwa-Uljin area
(modified from KIGAM, 1973)

- A : Weonnam group B : Amphibolite
- C : Buncheon granite gneiss
- D : Acidic & intermediate dike rock
- 1 ; Ssangjeon W deposits
- 2 ; Okbang W deposits

은 위에 記述한 모든 地層을 貫入하고 있으며 片狀構造와 함께 斑狀變晶組織이 發達한다. 酸性 및 中性脈岩은 大小規模의 岩脈으로 產出된다.

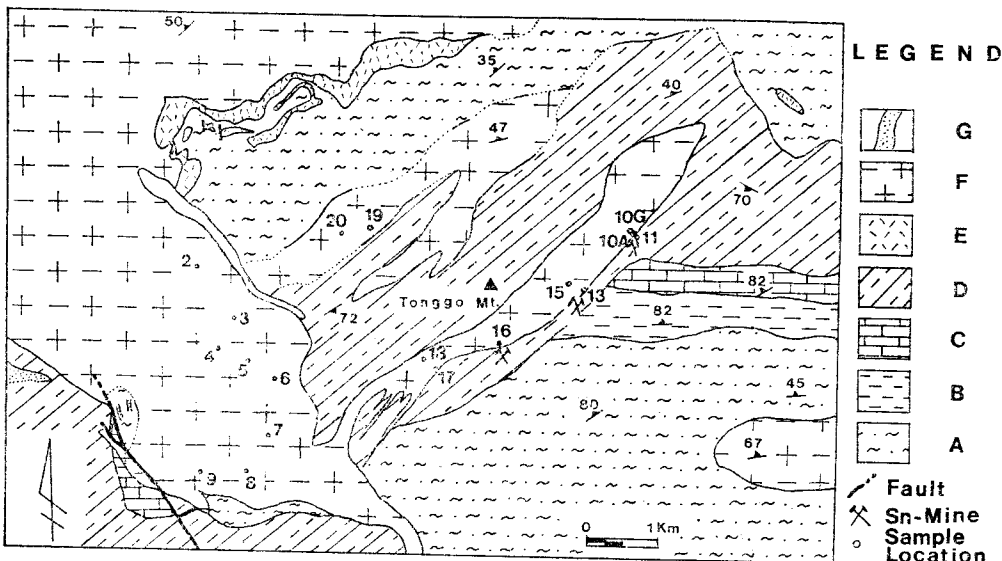


Fig. 2 Geologic map of the Tonggo Mt. area (Kim et al, 1963)

- A : Weonnam Formation
- B : Dongsugog Formation
- C : Janggun Limestone
- D : Yulri Series
- E : Amphibolite
- F : Buncheon granite gneiss
- G : Acidic dyke rocks.

Table 1. Modal analyses of Buncheon granite gneiss.

Area	Okbang-Namhoeryongri										Ssangjeon		
	2	3	4	5	6	7	8	9	19	20	1-2	1-5	1-9
Quartz	45.6	32.7	37.4	37.0	37.5	42.6	37.2	40.6	42.8	37.3	32.1	37.2	36.9
K-feldspar	37.8	26.2	35.2	28.4	30.3	25.9	26.1	37.6	20.1	31.1	34.2	28.1	31.6
Plagioclase	10.4	35.2	24.0	32.2	28.5	27.5	31.3	17.5	29.3	26.7	25.0	31.5	26.9
Biotite	6.0	5.6	2.9	2.3	3.6	3.2	3.4	4.2	6.6	4.2	8.5	3.2	0.2
Mus. & Ser.	Tr	0.3	0.4	0.1	0.1	0.5	0.7		1.1	0.5	0.1		4.2
Chlorite							1.3			Tr			
Fluorite													
Tourmaline										Tr			
Hornblende					Tr	Tr							
Epidote	0.1	Tr	Tr	Tr	Tr	Tr	Tr		0.2		Tr	Tr	
Apatite	0.1	Tr	Tr	Tr				Tr	Tr	Tr	Tr	Tr	
Zircon	Tr	Tr	0.1	0.1	Tr	Tr	Tr	0.1		Tr	Tr	Tr	Tr
Opaque	Tr	Tr	Tr	Tr	Tr	0.3	Tr	Tr	Tr		0.1		0.2

Area	Wangpiri										
	10A	10B	10D	10E	10G	11	13	15	16	17	18
Quartz	32.3	30.2	24.3	34.5	34.8	32.1	38.2	30.2	32.6	33.8	39.7
K-feldspar	12.8	21.0	33.5	19.8	23.2	25.1	18.1	24.6	26.2	16.5	20.9
Plagioclase	37.5	38.3	32.2	33.5	23.9	28.6	29.4	29.8	25.1	34.2	18.5
Biotite											0.1
Mus. & Ser.	17.3	10.5	9.6	12.2	18.2	14.2	14.2	15.2	15.9	14.7	20.6
Chlorite											
Fluorite	Tr			Tr	0.1	Tr		0.1	0.2		0.2
Tourmaline				0.2		Tr		0.1		Tr	
Hornblende											
Epidote	Tr	Tr		Tr							Tr
Apatite				Tr	Tr	Tr	0.1				0.3
Zircon	Tr							Tr			
Opaque	Tr	Tr	0.2		Tr		Tr		Tr	0.4	Tr

汾川花崗片麻岩

汾川花崗片麻岩은 三斤里圖幅 中央部에서 北東端을 거쳐 蔚珍 北쪽으로 延長되는 巨大한 岩體이다. 이 地域에 賦存하는 雙田과 玉房ึง스뎬礦床과 王避里附近의 錫礦床들은 모두 汾川花崗片麻岩體의 境界部나 境界에 近接하여 胚胎하고 있어 汾川花崗片麻岩은 矿床의 成因關係가 있어 보인다. 그러나, 이 研究에서는 이 岩體 中 위의 矿床賦存地 가까이에 分布하는 岩石에 對하여만 檢討하기로 한다. 따라서 巨大한 汾川花崗片麻岩體全般에 걸친 共通性이 아닐 可能性이 있음을 附言

하여 둔다.

위의 矿床周邊에 分布하는 汾川花崗片麻岩은 中粒에서 粗粒質로써 片狀構造, 斑狀變晶構造를 갖는다. 斑狀變晶은 斜長石과 微斜長石으로 되어 있다. 汾川花崗片麻岩 中 玉房에서 南回龍里沙田部落사이와 王避里附近으로의 突出部, 雙田礦山附近에 分布하는 岩石의 모오드組成은 Table. 1 과 같다. 이 地域의 汾川花崗片麻岩의 平均 모오드組成은 石英이 39%, 카리長石 30%, 斜長石 26%, 黑雲母가 約 4% 包含된 黑雲母花崗片麻岩이다. 이 岩石은 微量의 綠簾石, 珠玉, 磷灰石과 不透明礦物을 包含한다.

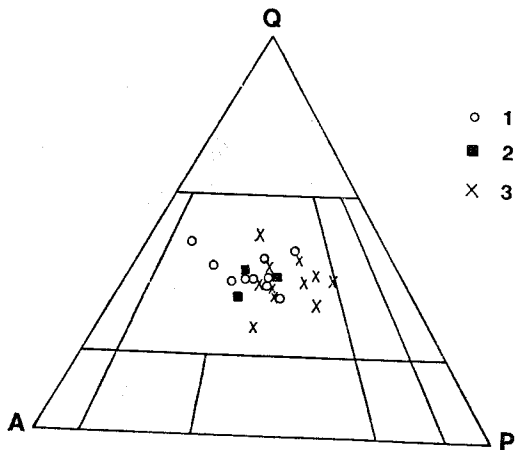


Fig. 3 Q-A-P diagram of Buncheon granite gneiss.
1 ; Samples of Okbang-Namhoeryongri area
2 ; Samples of Ssangjeon area.
3 ; Samples of Wangpuri area

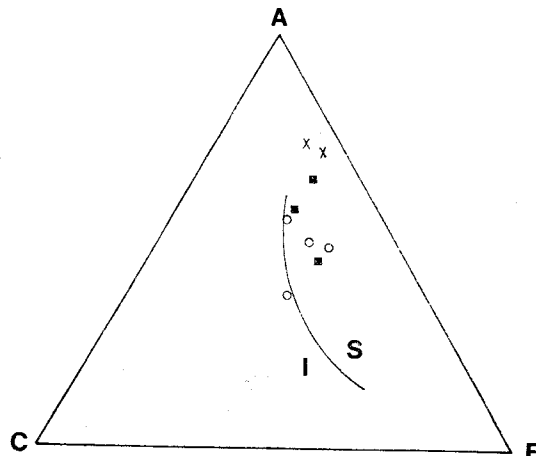


Fig. 4 ACF diagram of Buncheon granite gneiss.
A : $\text{Al}_2\text{O}_3 + \text{Na}_2\text{O} + \text{K}_2\text{O}$, C : CaO
F : $\text{FeO} + \text{MgO}$

汾川花崗片麻岩體 中 王避里附近으로 突出한 部分의 岩石의 平均 모오드組成은 石英이 32%, 카리長石 22%, 斜長石 30%, 白雲母가 約 15%이다. 이 岩石은 岩體中心에서 錫鑛床이 賦存하는 岩體南側으로 가며 黑雲母의 白雲母化, 카리長石의 알바이트化가 顯著하며 少量의 電氣石, 蠻石, 黃玉, 硫砒鐵石等을 包含함이 特徵이다. 通古山 附近으로 突出한 이 岩體에 隣接하여 王避里 附近에는 特히 錫鑛床이 集中 胚胎되어 있다.

雙田重石鑛山 中央坑內에서 보여지는 汾川花崗片麻岩體 緣邊部 岩石의 平均 모오드組成은 石英이 35%, 카리長石 31%, 斜長石이 28%, 黑雲母와 白雲母가 각각 4%와 1.4%이다.

雙田, 玉房, 王避里 附近의 汾川花崗片麻岩의 組成을 QAP 三角圖에 表示하면 Fig. 3 과 같이 大概는 花崗岩領域에 屬함을 알 수 있다.

玉房—南回龍里沙田部落間, 王避里 附近 및 雙田鑛山 附近의 汾川花崗岩 9 個 試料에 對한 化學分析 結果는 Table 2 과 같다. 分析한 모든 試料가 $\text{Al}_2\text{O}_3/\text{CaO} + \text{Na}_2\text{O} + \text{K}_2\text{O} > 1$ 인 過알루미나岩(peraluminous rocks)임을 알 수 있다. CaO/FeO , 와 $\text{Na}_2\text{O}/\text{K}_2\text{O}$ 가 모두 1보다 작고 노름 커랄덤(normal corundum)이 1%以上 包含된다. 分析值를 ACF 圖(Fig. 4)에 表示하면 White 등(1977)이 提案한 S型花崗岩의 領域에 屬함을 알 수 있다. 이 花崗片麻岩 中의 F 와 Cl의 平均含量

은 0.24%와 0.06%로써 國內의 텅스텐, 몰리브덴 鑛化作用과 關係있는 中生代末 花崗岩類의 F, Cl 含量에 比하여 顯著하게 높다. (朴 등 1982)

文相鎬(1983)에 依하면, 汾川花崗片麻岩 中 王避里 の 蔚珍鑛床에 隣接하는 花崗片麻岩은 岩體center部에서 鑛床이 있는 岩體緣邊으로 가면서 카리長石의 含量이 減少하는 反面에 斜長石의 含量이 增加하고, 蠻石, 黃玉, 白雲母의 含量이 增加한다고 한다. 한편, 이 王避里 附近 花崗片麻岩은 特히 F 와 Sn 含量이 異常의 으로 높고 Sn-F 含量間에 正의 相關關係를 갖는다고 한다. 이와 같은 事實은 이 王避里 附近의 汾川花崗片麻岩이 錫鑛化作用과는 成因의 으로 關係가 있음을 나카내는 것으로 생각케 한다.

鑛床

錫鑛床

概要

錫鑛床은 主로 王避里 附近의 汾川花崗片麻岩體 南쪽 境界를 따라 NE-SW 方向으로 平行發達하는 페그마타이트脈內에 胚胎한다(Fig. 5). 이 鑛床은 北쪽의 蔚珍鑛山草幕坑 附近에서 銅錫鑛山까지 SW 方向으로 約 4km 사이에 斷續的으로 發達한다. 鑛化된 페그마타이트脈은 汾川花崗片麻岩體의 緣邊에도 發達하나 이 岩體 境界에서 數 100m 範圍內의 栗里層內에 發達하는 것이 大部分이다. 이들 페그마타이트脈의 走向은 N30°

Table 2. Chemical compositions and norms of Buncheon granite gneiss

	Okbang-Namhoeryong			Wangpiri		Ssangjeonri			1~10
	2	3	19	20	A	B	1~2	1~5	
SiO ₂	71.34	69.80	71.06	73.40	73.20	72.50	73.70	76.12	74.82
TiO ₂	0.20	0.15	0.17	0.13	0.05	0.03	0.21	0.11	0.04
Al ₂ O ₃	13.95	15.28	15.53	13.32	15.80	16.60	14.63	14.17	15.13
Fe ₂ O ₃	2.88	2.77	3.22	2.45	0.68	0.52	0.11	0.17	0.22
FeO	1.93	1.57	2.07	1.86	0.71	0.71	2.15	1.75	1.25
MnO	0.03	0.02	0.04	0.03	0.05	0.04	0.04	0.03	0.02
MgO	0.37	0.20	0.39	0.28	0.22	0.22	0.64	0.31	0.15
CaO	1.67	0.16	1.91	1.08	0.22	0.25	1.24	0.67	0.51
Na ₂ O	3.63	3.61	2.95	3.31	3.71	3.75	2.63	2.15	2.24
K ₂ O	3.91	5.45	1.55	2.58	4.49	4.52	4.40	4.28	5.34
P ₂ O ₅	0.04	0.05	0.05	0.03	0.09	0.07	0.05	0.05	0.05
F	0.05	0.23	0.27	1.02	0.24	0.17	0.11	0.03	0.02
Cl	0.08	0.05	0.05	0.04	0.01	0.01	0.04	0.04	0.03
H ₂ O ⁺	0.18	0.36	0.22	0.25	0.78	0.97	0.03	0.13	0.30
H ₂ O ⁻	0.10	0.10	0.09	0.13	0.08	0.07	0.10	0.13	0.10
Total	100.36	99.80	99.57	99.91	100.33	100.43	100.07	100.14	100.20
Q	28.95	24.86	41.60	39.51	33.55	32.32	36.48	44.15	39.24
Or	23.50	32.70	9.45	15.85	26.53	26.71	26.00	25.29	31.56
Ab	33.15	32.95	27.30	30.85	31.40	31.73	22.26	18.19	18.96
An	8.45	2.52	9.75	5.40	0.51	0.79	5.83	3.00	2.21
C	0.78	2.81	6.22	3.60	4.65	5.25	3.40	4.90	4.86
En	1.04	0.56	1.22	0.80	0.55	0.55	1.59	0.77	0.37
Fs	0.76	0.34	0.81	1.09	0.73	0.88	3.53	2.90	2.05
Mt	3.06	1.73	3.47	2.66	0.99	0.75	0.16	0.25	0.32
Il	0.28	0.22	0.24	0.18	0.09	0.06	0.40	0.21	0.08
Ap	0.09	0.12	0.12	0.06	0.21	0.16	0.12	0.12	0.12
DI	85.60	90.51	78.35	86.21	91.48	90.76	84.72	87.63	89.76
A/CNK	1.05	1.26	1.55	1.31	1.39	1.44	1.29	1.51	1.46

DI : differentiation index A : Al₂O₃, CNA : CaO+Na₂O+K₂O

~50°E 이고 60~70°NW로 傾斜한다. 이 페그마타이트脈의 走向傾斜는 栗里層의 片理와 大體로 같다. 脉幅은 0.3m에서 15m나 되는 것까지 있으나 採礦된 脉들은 大概가 0.5m~4.0m範圍內에서 膨縮한다.

東水谷附近에서는 汶川花崗片麻岩體內와 그 가까이의 페그마타이트脈內에는 蔚珍鑛山의 锡鑛床이 發達하고 이 花崗片麻岩體로부터 더 멀리 떨어진 곳에 있는 페그마타이트脈내에는 Li鑛床이 發達하고 있어, 汶川花崗片麻岩體를 中心하여 帶狀分布하고 있다. 이 地域에서 Li鑛床中 가장 많이 開發된 것은 將軍石灰岩內에 胚胎되어 있다.

페그마타이트

페그마타이트는一般的으로 巨晶質인 石英, 微斜長石, 斜長石, 白雲母를 主로하고 融石, 후로로鱗灰石을 隨伴한다. 特히, 銅錫鑛山의 페그마타이트에서는 電氣石과 柠榴石이 产出된다. 페그마타이트脈內에서의 組織이나 鑛物組成에 依한一次의 壓帶構造는 볼 수 없다. 이 페그마타이트는 後期에 不規則하게 그라이젠화되거나 長石化되어 있다. 锡石은 主로 페그마타이트中 그라이zen화된 部位와 알바이트화된 部位에서 产出되고, 위의 變質을 뚜렷하게 받지 않은 部位에서는 거의 产出되지 않는다. 페그마타이트의 變質은 汶川花崗片麻岩體內의 것에서 보다는 이 花崗片麻岩體 接觸部 가까이의 栗里層內에 發達하는 페그마타이트에서 더욱 顯

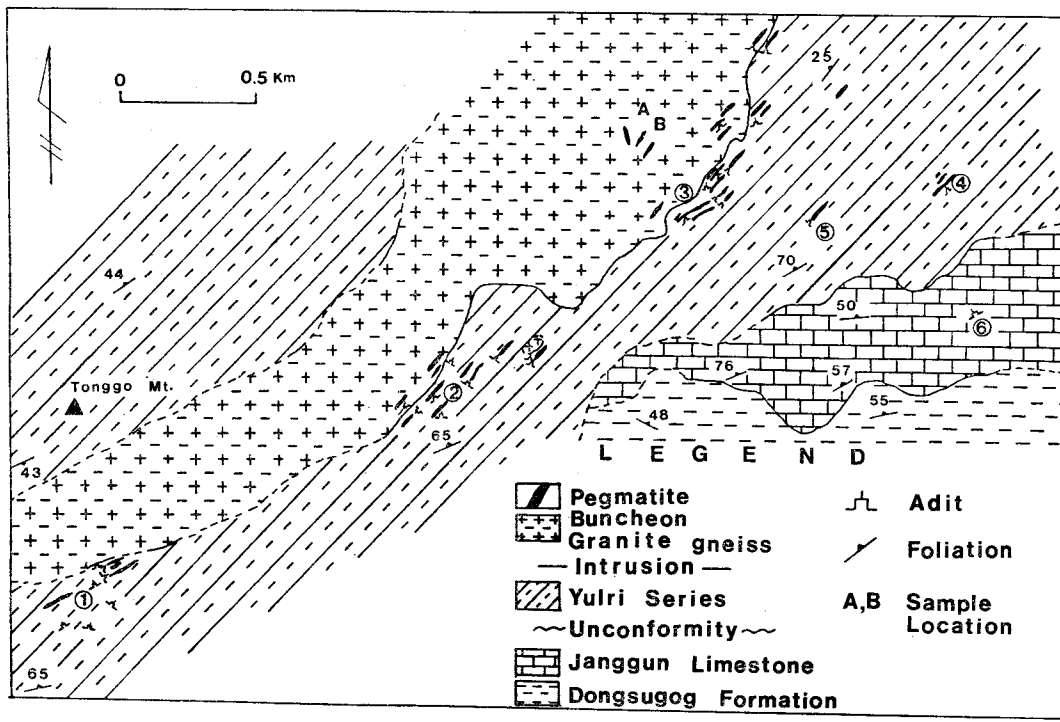


Fig. 5 Geologic map of Wangpuri area

- ① Dongseok Mine ② Yuchang Mine ③ Buguk adit, Uljin Mine
 ④ Chomak adit, Uljin Mine. ⑤, ⑥ Li-prospect

著하나, 變質된 페그마타이트 中에는 片狀構造가 發達하는 것이 있다.

그라이젠化作用; 그라이젠화作用은 페그마타이트內와 이와 接하는 栗里層의 岩石에 걸쳐 이루어져 있다. 페그마타이트의 그라이젠화는 그라이젠의 構造와 組織에 依하여 2次에 걸쳐 이루어졌음을 알 수 있다. 그라이젠화作用은 그 時期에 따라 早期의 것을 그라이젠 I, 後期의 것을 그라이젠 II라 부르기도 한다. 그라이젠 I은 中粒~粗粒質로 石英, 白雲母, 黃玉, 錫石, 螢石과 후로로鱗灰石으로 되어 있고(Fig. 6-A), 그라이젠 II는 細粒의 石英, 白雲母 또는 텐페도라이트로 되어 있다. 그라이젠 I은 錫石, 黃玉, 螢石의 主要生成期의 것이고, 그라이Zen II는 텐페도라이트의 生成期의 것이다.

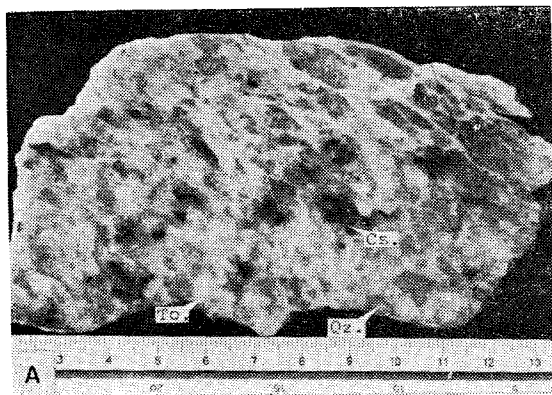
I期의 그라이Zen화作用은 錫礦化作用에 있어 가장重要한 것으로서 主로 페그마타이트脈의 兩壁에 沿하여 이루어진 경우가 많다. 페그마타이트의 脉幅이 좁은 것이나 脉의 尖滅部는 페그마타이트 全體가 그라이Zen화된 것이 많다. 그라이Zen화된 部位에서 片狀構造를 갖는 것은 石英이 片理方向으로 伸長되어 있고 錫石은 片理方向에 直角으로 쪼개져 있기도 한다. (Fig. 6-B)

그라이Zen II는 페그마타이트 變質의 最末期生成物로서 小規模로 그라이Zen I을 交代하고 (Fig. 6-C), 다음에 記述할 長石化된 部位를 交代하기도 한다. (Fig. 6-D)

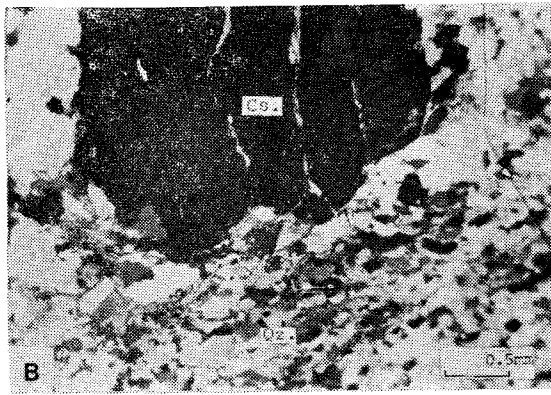
長石化作用; 페그마타이트의 長石化에는 알바이트化作用과 微斜長石化作用이 있다. 알바이트化作用은 그라이Zen I을 交代하고 있는 것으로 보아 I期의 그라이Zen화作用後에 이루어진 것이다. 또, 페그마타이트를 交代하여 페그마타이트構成礦物로서의 微斜長石을 殘留物로 包含하고 있기도 하고 (Fig. 6-E), 微斜長石을 細脈으로 交代하기도 한다. (Fig. 6-F) 알바이트化가 顯著하게 이루어진 部位는 거의 알바이트만으로 構成되어 있고 少量의 錫石, 螢石, 金紅石을 隨伴할 뿐이다.

微斜長石化作用은 알바이트化作用에 依하여 生成된 알바이트를 部分的으로 交代하고 있는 것으로 보아 알바이트化 以後에 部分의으로 이루어진 것으로 보인다. 微斜長石化에 隨伴된 錫石의 晶出은 없었고前述한 그라이Zen II는 微斜長石化에 依하여 生成된 後期微斜長石까지 交代하고 있다.

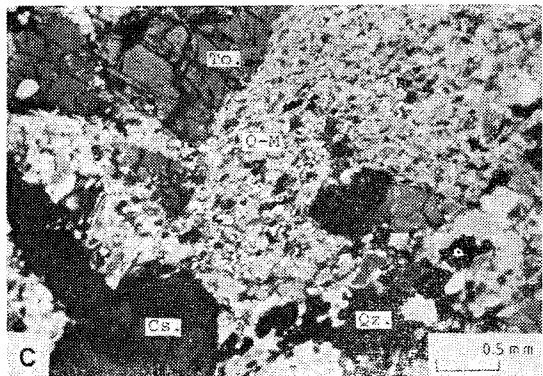
以上으로 페그마타이트의 變質은 그라이Zen I→알바이트化→微斜長石化→그라이Zen II의 順序로 進行되었



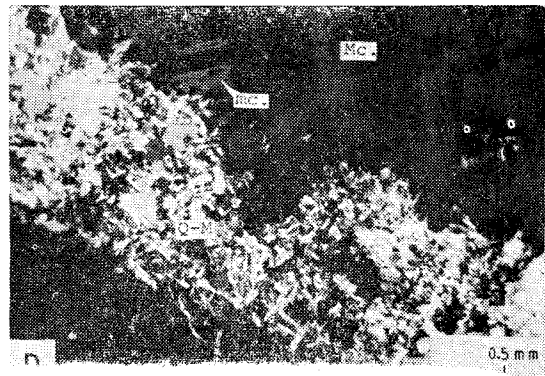
Cassiterite bearing greisen. Cs: cassiterite. To: topaz. Qz: quartz.



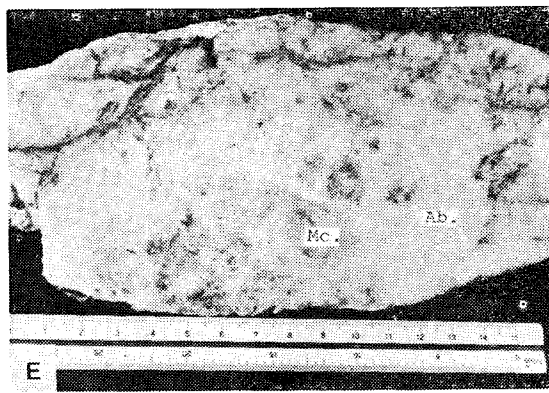
Fractured cassiterite in schistose greisen.



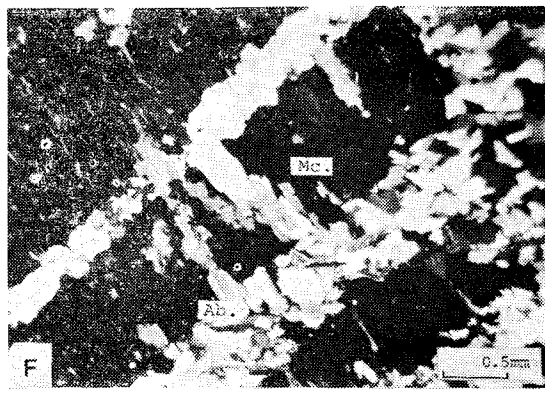
Cassiterite bearing greisen I replaced by fine grained quartz and mica (greisen II) Q-M: quartz and mica aggregate.



Microcline replaced by quartz and mica (greisen II)
Q-M: quartz and mica



Albites replace microcline in the form of vein.



Microcline replaced by albite and remained as relicts in albitite. Mc: microcline. Ab: albite

Fig. 6 Photographs of Cassiterite ore and greisen

Table 3 Content of trace elements in cassiterite (in p.p.m)

element data No.	Nb					Ta					Zr					Sc					
	1	2	3	4	5	1	2	3	4	5	1	2	3	4	5	1	2	3	4	5	
Type of deposits																					
Pegmatites	6000	10^4	5300	9000		5300	10^4	3450	2500		2400	458	475	350		650	0	12.5	<10		
Greisens	5200	10^4				1570	600				1020	200				580	47				
Quartz-feldspars		150					100					50					17				
Quartz-cassiterite	600	255				150	100				200	750	65			400	61			<10	
Quartz-sulfide	20	20				—	100				30	40				4	66				

element data No.	In					Ti					Fe					Ag				
	1	2	3	4	5	1	2	3	4	5	1	2	3	4	5	1	2	3	4	5
Type of deposits																				
Pegmatites	—	13	37	<10		4100	1200	825	600		N.A.	6000	1250	2000		—	0.4	<1	<1	<1
Greisens	—	158					7500	970			N.A.	3760				1	0.7			
Quartz-feldspars		—	30				2430				N.A.	4570				1	0.4			
Quartz-cassiterite	trace	52		<10		3500	1370				900	N.A.	5200			1200	10	0.2	<	
Quartz-sulfide	210	80				1700	1150				N.A.	3600				660	0.3			

1 ; data from Dudykina (1959) 2 ; data from Steveson and Taylor (1973)

3 ; data averaged four samples from, Wangpuri area. 4 ; data from this study, Sungyeong tin mine.

5 ; data from this study, Yonghwa tungsten-molybdenum mine. N.A. ; not analysed.

다. 이 中 變質作用으로 顯著한 것은 그라이젠 I 과 알바이트화이다. 그러나 모든 페그마타이트가 위의順序대로 모든 變質作用을 받은 것은 아니다. 錫石의 晶出은 主로 그라이젠 I 의 生成時期이고 一部가 알바이트화作用에 隨伴되었음을 알 수 있다.

錫石과 錫石의 微量元素

錫石은 前述한 바와 같이 페그마타이트의 그라이젠化帶, 알바이트化帶內에서 產出된다. 锡石의 크기는 顯微鏡下에서 겨우 確認될 程度의 것에서 直徑이 2cm程度되는 것까지 있다. 色은 主로 暗黑色을 띠거나 黃褐色의 것도 있다. 黃褐色을 띠는 것은 主로 銅錫礦山에서 많이 產出되고 蔚珍礦山의 新坑에서도 少量 產出된다.

錫石 中의 微量元素는 鐵床의 成因型에 따라 그 含量에 差가 있음이 여러 學者들(Dudykina; 1959, Steveson and Taylor; 1973)에 의하여 報告된 바있다. 蔚珍地域의 蔚珍, 유창, 銅錫의 3個 鐵山產 4個錫石試料와 順鏡錫礦山, 用夏重石·몰리브덴錫山產 锡石各 1個를 Emission Spectrography, A.A., X.R.F. 等의 器機로 써 分析하였다. 結果는 Table. 3 과 같다. 順鏡錫礦床은 典型的인 페그마타이트型錫床(李鍾革, 1958)으로 알려져 있고, 用夏錫床은 含重石·몰리브덴石英脈으로 锡石을 產出한다. Dudykina (1959)와 Steveson and Taylor(1973)는 锡床을 Smirnov의 分類法에 따라 分類하고 鐵床의 成因型에 따른 锡石 中의 微量元素의 含量平均值를 각각 報告하고 있다. (Table. 3) 이 表에서 蔚珍地域의 資料는 4個試料(蔚珍錫山 2個, 유창錫山 1個, 銅錫錫山 1個)의 平均值이다. Dudykina(1959)와 Steveson and Taylor (1973)의 微量元素 含量值은 각각 172個와 46個錫石試料의 平均值이다. Dudykina(1959)에 의하면, 锡石 中의 Ta含量은 페그마타이트型錫床에서는 2%까지 되는 것이 있고, 그라이젠型錫床에서도 높으나 石英—錫石型錫床에서는 아주 낮고 石英—硫化錫物—錫石型錫床에는 包含되지 않는다고 한다. 따라서 锡石 中의 Ta含量은 鐵床의 生成條件를 推定하는 데 利用할 수 있다고 한다. Nb은 Ta보다는 더 廣範하게 分布하여 페그마타이트와 그라이젠型錫床에서 가장 높고 石英—錫石型, 石英—硫化錫物—錫石型錫床에서는 顯著하게 낮아진다. 이와 같은 傾向은 Steveson and Taylor (1973)의 資料에서도 읽을 수 있다. 따라서 鐵床成因이 不分明한 锡石을 分類하는 데 利用할 수 있다고도 한다. 蔚珍地域 鐵山產 锡石은 用夏錫山產의 것보다 顯著하게 높고 代表의인 페그마타이트型錫床인 順鏡錫礦床의 것과 比較할 때 Ta含量은 높고 Nb含量은 낮아 兩者間의 鐵床成因型의 差

를 判別하기 어렵다. 锡石 中의 Zr含量도 鐵床의 成因型에 따라 뚜렷한 差를 나타낸다. 페그마타이트型錫床에서보다 그라이젠型錫床에서 낮고 石英—錫石型錫床에서는 더욱 顯著하게 낮아진다. 順鏡과 蔚珍地域 鐵床產 锡石은 Steveson & Taylor의 페그마타이트型錫床產 锡石의 Zr含量에 가장 가깝다. Sc含量에 對하여는 Dudykina (1959)와 Steveson & Taylor (1973)의 資料가 含量值에 있어서 差가 크고 鐵床成因型에 따른 含量에 있어相反되는 傾向을 나타낸다. 이 번 研究에서 蔚珍地域 鐵床產의 锡石에 12.5p.p.m이 包含되었을 뿐 나머지 두 鐵床의 것은 모두 檢出下限(10p.p.m)以下이다. 其他 Ti, Fe, Ag 等에 대하여는 이 表에서 보여지는 바와 같이 鐵床의 成因型을 指示하는 밀을 단한 것이 못됨을 알 수 있다. 따라서 锡石 中의 微量元素 含量에 對하여는 여러 元素가 檢討報告되고 있으나 鐵床의 成因型에 따라 共通的으로 差가 明瞭한 것은 Ta, Nb, Zr의 3個 元素뿐임을 알 수 있다. 蔚珍地域 鐵床產 锡石은 用夏錫床의 것과는 위의 3元素의 含量에 있어 顯著한 差가 있고, 代表의인 페그마타이트 锡床으로 알려진 順鏡錫礦床의 것과 함께 大體上 페그마타이트型錫床 锡石에 對한 報告資料와 같음을 알 수 있다.

Grubb 와 Hannaford (1966), Greaves et al (1971)에 의하면 锡石의 色은 微量元素의 含量에 따라 變하며 특히 Fe, Mn, Ti, Nb, Ta, Ni, Co의 含量增加에 따라 色은 無色으로부터 褐色, 黑色으로 漸變한다고 한다. Table 4는 蔚珍地域 鐵床產 锡石 4個試料와 順鏡, 用夏錫床各 1個 锡石의 色과 微量元素의 含量을 比較한 것이다. Table. 4에서 锡石의 色이 黑色인 것에서 特히 Mn의 含量이 顯著하게 높고 其他 Zn, In, Nb, Ta含量도 높은 傾向을 보인다. 반대로 Y은 黑色인 것에서 낮은 傾向을 보인다. V, Ti, Fe과 Cu含量에는 特別한 傾向을 볼 수 없고 Ni, Co는 모두 檢出界限以下이다.

錫礦化作用

蔚珍 王避里 地域의 锡礦床은 上述한 바와 같이 汾川花崗片麻岩體 中 王避里附近으로의 突出部 南緣에 따라 좁은 範圍內에 平行 發達하는 페그마타이트脈內에 胚胎한다. 이 花崗片麻岩體는 特히 锡礦床이 많이 密集하는 곳의 附近에서는 岩體中心에서 緣邊으로 가며 알바이트화, 그라이젠화되어 있고 F과 Sn含量이 顯著하게 높아진다. 또 이 岩體를 中心으로 하여 锡礦床과 Li礦床이 帶狀分布하고 있으며 페그마타이트 中에는 花崗片麻岩과 같이 片狀構造를 갖는 것도 있다. 이와 같은 事實로 보아 이 地域의 花崗片麻岩은 锡礦化作

Table 4. Comparison of color variations and some trace elements abundances among cassiterites from Ul-cjin, Sungyeong, Yonghwa mines (in p.p.m.)

comp. Sample.	Ti	Zn	In	Mn	Cu	Ni	Co	Nb	Ta	Fe	V	Y	color of cassiterite*
3-1	850	500	50	5,000	50	<5	<10	5,500	3,800	1,400	80	<10	black
3-2	800	800	60	5,500	20	<5	<10	7,000	5,000	700	80	<10	black
3-3	700	350	30	3,000	10	50	<10	8,000	4,500	1,500	10	<10	black
3-4	950	250	<10	90	6	<5	<10	700	500	1,400	150	10	pale brownish yellow-
4	600	350	<10	600	7	<5	<10	9,000	2,500	2,000	20	30	pale brown
5	900	75	<10	100	10	<5	<10	3,000	200	1,200	60	10	deep brown

3-1 ; Chomag adit, Wangpiri area

3-2 ; Yuchang Mine, Wangpiri area.

3-3 ; Bugug adit, Wangpiri area.

3-4 ; Dongseog Mine, Wangpiri area.

4 ; Sungyeong Mine.

5 ; Yonghwa Mine.

* grain size ; 2~13/4 φ

時間의으로나 空間의으로 密接한 關係를 갖을 뿐 아니라 成因의으로도 깊은 關係를 갖는 關係火成岩인 것으로 생각된다.

페그마타이트 中 錫石이 產生되는 部位는 甚히 그라이젠화, 알바이트化된 部位이다. 그러므로 錫礦化作用은 페그마타이트의 生成後 導入된 流體로 페그마타이트가 그라이젠화, 알바이트化되는 동안에 이루어졌다고 생각된다. 따라서 이 鑛床은 Smirnov (1968)의 錫礦床分類에서 含錫페그마타이트—그라이젠鑛床에 屬한다. 이는 이 地域 鑛床에서 產生되는 錫石 中의 微量元素의 含量으로 보아서도 Dudykina 와 Steveson & Taylor의 페그마타이트鑛床產의 것과 比較的一致한다. 寧越郡 上東面 一圓의 順鏡錫鑛床과 覺喜錫鑛床은 蔚珍地域의 錫鑛床과 같이 先Cambrian時代의 變成堆積岩內에 胚胎된 페그마타이트鑛床이라는 共通性을 갖는다. 李鍾革(1958)은 順鏡錫鑛床에 對하여 錫石은 페그마타이트에 散點狀으로 存在하나 페그마타이트의 그라이젠화나 알바이트化에 對하여는 言及한 바가 없다. 특히 錫石이 페그마타이트의 그라이젠화나 알바이트化된 部位에 存在한다는 報告도 없다. 이 點이 두 地域의 錫礦化作用의 差異인 것으로 보인다. 이 밖에 우리나라에서 錫石의 產地로서는 黃江里地域의 用夏와 大華鑛山이 알려져 있다. (朴等, (1982)) 그러나 이들 鑛床은 白堊紀末에 生成된 硫化鑛物과 함께 重石, 몰리브덴鑛物을 產生하는 石英脈鑛床으로서 鑛體의 生成時期나 產生되는 鑛物組合으로 보아 蔚珍地域錫鑛床과는 顯著한 差가 있다.

重石鑛床

概要

雙田重石鑛床은 汾川花崗片麻岩과 角閃岩과의 接觸

部에서 汾川花崗片麻岩을 下盤으로 하여 發達하는 페그마타이트內에 胚胎한다. 이 페그마타이트脈의 走向은 N80°~EW에 40~50N로 傾斜하며 露頭에서 走向方向으로 約 2 Km 계속 發達한다. (Fig. 7) 이 脉에서 鑛化된 部位는 選鑛場을 基準으로 하여 東쪽으로 約 800m 區間이다. 脉幅은 10~20m 程度이나 最高 40m로 膨大하기도 한다. 이 鑛脈은 走向이 N15°E에 거의 垂直인 斷層으로 切斷 移動되고 또 走向이 N30°E인 鹽基性岩脈에 의하여 貫入 當하고 있다. 鑛脈과 接하는 上盤의 角閃岩은 部分的으로 黑雲母化되어 있다.

鑛石과 鑛物의 共生關係

上述한 페그마타이트脈에서 鑛化되지 않은 部位는 主로 巨晶質의 石英, 微斜長石, 斜長石, 黑雲母, 白雲母로 되어 있고 少量의 電氣石과 柑榴石을 隨伴한다. 이 페그마타이트脈은 脉의 緣邊에서 中心으로 가며 組織이나 鑛物組成의 差로 因한 累帶構造를 갖지 않는다. 그러나 鑛化된 部位의 페그마타이트는 後期의 石英에 의하여 廣範하게 交代되어 있다. 石英에 의하여 交代된 脉幅은 特히 膨大되고 長石은 紗雲母化되어 있다.

이들 後期의 石英은 晶出時期, 組織, 鑛化作用과의 關聯性 등으로 보아 다음의 세 가지 類型으로 分類된다.

1) 鑛化되지 페그마타이트의 構成鑛物로서의 半透明, 乳白色石英(石英 I), 2) 重石鑛化作用과 관련된 灰色~暗灰色石英(石英 II), 3) 다른 鑛物을 隨伴하지 않는 半透明, 塊狀, 白色石英(石英 III). 石英 I은 가장 早期에 晶出된 것으로 鑛石鑛物을 隨伴하지 않으며 石英 II에 의하여 交代되어 있다. 石英 I과 共存하는 長石類는 紗雲母化되어 있다. 石英 III은 barren 石英으로서 石英 I, II를 交代하고 또 細脈으로 切斷하고 있어 最後期에 晶出된 石英이다.

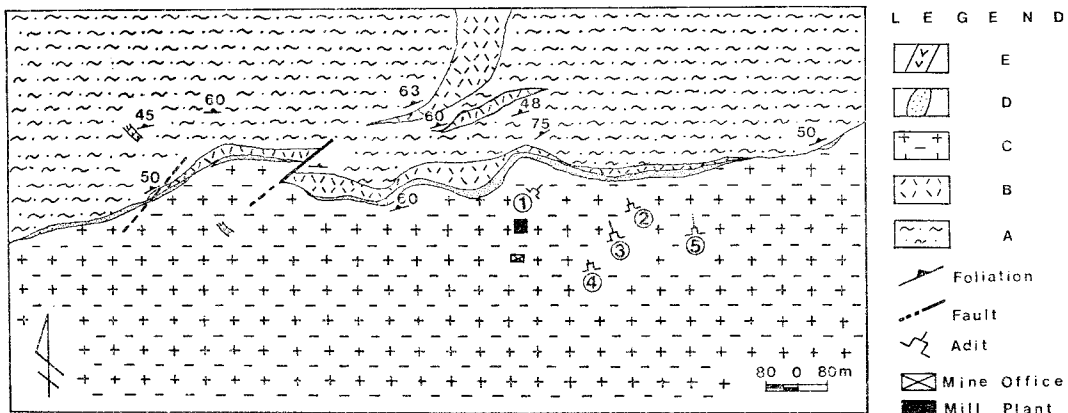


Fig. 7 Geologic map of Ssangjeon mine area.

A : Weonnam Formation	B : Amphibolite	
C : Buncheon granite gneiss	D : Pegmatite	
E : Basic dike rock		
① Tongil Adit	② Ssangjeon Adit	③ Main Ad.
④ Jungang Adit	⑤ Okbang Adit	

Table 5. Minerals associated with three types of quartz

type of quartz	color of quartz	mineral assemblage
quartz I	white	microcline, plagioclase, quartz, biotite muscovite, garnet, tourmaline
quartz II	gray-dark gray	wolframite, scheelite, molybdenite, arsenopyrite, pyrrhotite, pyrite, chalcopyrite, sphalerite, galena, pentlandite, bismuthinite, native bismuth, marcasite, fluorite, sericite
quartz III	white	barren

이礦床에서 産出되는 主要礦物은 鐵磁粒重石과 灰重石이고 이밖에 少量의 輝水鉛石, 硫砒鐵石, 磁硫鐵石, 黃鐵石, 黃銅石, 閃亞鉛石, 方鉛石, 펜트란다이트, 輝蒼鉛石, 自然비스무즈와 白鐵石이 産出된다. 脈石礦物은 石英, 微斜長石, 斜長石, 白雲母, 黑雲母, 電氣石, 柏榴石, 萍石, 絹雲母등이다.

위에서 言及한 生成時期를 달리하는 세種類의 石英
과 各各 共存하는 鑽物들은 Table. 5와 같다.

이 표에서 보여지는 바와 같이 主要礦物은 石英 II의 晶出期에 晶出하였음을 알 수 있다. 石英 II의 晶出期間中 鐵망간 重石이 初期에 晶出되고 灰重石과 함께 모든 硫化礦物은 後에 鐵망간 重石을 交代하고 있다. 이 矿床에서 產出되는 鐵망간 重石의 FeWO_4 mol. %는 97~99.8로서 퍼버라이트(ferberite)에 屬한다.

(尹, 朴 1982)

流體包有物

流體包有物 研究對象礦物은 石英 I, II 와 石英 III에
隨伴되는 融石이다.

流體包有物의 種類；

初生과 擬二次包有物에는 다음의 I, II, III型의 것
이 있다.

I型包有物; 液相과 氣相으로 되어 있고 液相의 充填度가 50% 이상인 液體包有物이다. 室溫에서나 冷却實驗中 液體 CO_2 (以下 LCO_2 라 略記함) 가 觀察되지 않는다. 石英 I, II, III에서 모두 觀察되나 石英 I, II 中의 것은 大部分이 二次包有物이고 石英 III과 融石中의 것만이 初生包有物이다.

Ⅱ型包有物；液相과 氣相으로 된 二相包有物로서 液

Table 6. Fluid inclusion data of quartz and fluorite, Ssongjeon tungsten deposits

host mineral	type of inclusion	I		II		III	
	inclusion data	homogenization temperature	salinity	homogenization temperature	salinity	homogenization temperature	salinity
quartz I		—	—	415~465 (11)	4.5~9.5 (10)	—	—
quartz II		—	—	397~441 (11)	5.1~6.0 (4)	—	—
quartz III		278~357 (13)	—	—	—	—	—
fluorite		191~297 (27)	3.5~8.3 (18)	—	—	223~259 (5)	4.1~6.4 (5)

Salinity: wt. % equivalent NaCl

Numbers within parenthesis indicate number of inclusions tested.

相의 充填度가 50% 이하인 氣體 (gaseous) 包有物이다. 加熱實驗時 氣相으로 充填된다. 室溫에서나 冷却實驗時에 LCO_2 가 觀察되지 않는다. 이包有物은 石英 I, II에 初生包有物로 包含된다.

III型包有物; 液相과 氣相以外에 室溫에서나 冷却實驗中 LCO_2 가 觀察된다. 이包有物은 石英 II와 融石에서 보여지나 石英 II 내의 것은 二次包有物이다.

鹽濃度

流體包有物의 冷却實驗은 Nickon 會社製 NE-1型 低溫顯微鏡을 使用하여 實施하였다. 石英 I, II 및 融石中の 初生包有物鹽濃度의 測定結果는 Table. 6 와 같다. 石英 III內의 流體包有物은 크기가 너무 작아 冷却實驗이 不可能하였다. 各礦物中에 包含된 初生包有物의 鹽濃度는 3.5~9.5wt. % NaCl로서 礦物의 種類나 流體包有物의 型에 따른 큰 差異를 찾을 수 없다.

均一化溫度

流體包有物의 加熱實驗은 Leitz 會社製 350 SM-Lux型 加熱顯微鏡과 서울大學校地質科學科 礦床研究室에서 設計製作한 加熱臺를 使用하여 實施하였다. 均一化溫度 測定結果는 table 과 같다.

石英 I에 包含된 初生 II型 包有物의 均一化溫度는 415~465°C 인데 대하여 石英 II 中의 初生 II型包有物의 均一化溫度는 397~441°C 로서 石英 I의 것에 比하여 낮다. 한편 石英 III中的 初生 I型包有物의 均一化溫度는 278~357°C 로서 石英 I, II에 比하여 顯著하게 낮다. 石英 II에 隨伴되는 融石中の 初生 I型과 III型包有物의 均一化溫度는 각각 191~297°C 와 223~259°C 이다.

重石礦化作用

前述한바와 같이 雙田重石礦床은 晶出時期를 달리하는 石英의 產出狀態, 礦物共生關係, 流體包有物등으로

보아 初期에 形成된 單成佩그마타이트 (simple pegmatite) 脈이 後期에 導入된 鑄化流體에 의하여 廣範하게 交代되어 鑄化된 하나의 複成佩그마타이트 (complex pegmatite) 礦床일 것으로 생각된다.

이는 1) 礦石中の 石英이 單成佩그마타이트의 構成礦物로서의 石英 I과 함께 이를 後期에 交代한 石英 II와 石英 III으로 되어 있고 2) 主要礦化作用은 石英 II晶出期이 이루어졌으며 3) 石英 I과 石英 II 中의 初生包有物이 모두 氣體包有物로서 均一化溫度가 각각 415~465°C 와 397~441°C이나 石英 II晶出期에 晶出한 融石中の 流體包有物은 液體包有物로서 均一化溫度는 191~297°C라는 實事로서 類推된다. 鑄化流體의 鹽濃度는 石英 I, II晶出期에는 4.5~9.5wt. % NaCl로서 兩者間에 別로 差가 없으나 融石晶出期에는 3.5~8.3wt. % NaCl로서 石英 II의 것보다 下限이 낮다. 特히 融石內에 含 LCO_2 流體包有物이 存在하는 것으로 보아 融石晶出期의 鑄化流體의 CO_2 濃度는 높아졌을 것으로 보인다.

이 礦床의 生成溫度는 流體包有物 均一化溫度에 壓力補正을 하여야 얻어진다. 그러나 現時點에서 壓力補正에 利用될 資料를 갖고 있지 않다. 다만 1)이 礒床이 先肯브리아時代의 岩石中에 發達된 페그마타이트로서 礒化作用은 先肯브리아時代에 貫入되었을 可能性이 있는 汾川花崗片麻岩과 成因의으로 관계가 있어 보인다는 點 2) 礒脈에 테레스코핑이 보이지 않는다는 點 등으로 보아 生成深度가 比較的 깊을 것이豫想될 뿐이다.

以上으로 보아 雙田重石礦床의 礒化作用은 氣成-熱水期 (pneumatolytic-hydrothermal stage)에서 始作하여 主要礦化作用은 热水期에 이루어 진 것으로 생각된다.

Table 7. Comparison of Chemical composition between world-wide granitoids and Buncheon granite gneiss.

	World-wide granitoids ¹⁾		Buncheon granite gneiss		Australian granitoid	
	average granite	tin-bearing granite	Wangpuri district	average ²⁾	A-type (Gabo)	I-type (Bega)
SiO ₂	70.18	73.02	73.08	72.88	73.04	72.50
TiO ₂	0.39	0.21	0.03	0.12	0.37	0.31
Al ₂ O ₃	14.47	13.90	16.02	14.93	12.64	13.63
Fe ₂ O ₃	1.57	0.78	0.40	1.45	1.63	0.70
FeO	1.78	1.34	0.80	1.56	1.51	1.65
MnO	0.12	0.05	0.06	0.03	0.08	0.06
MgO	0.88	0.52	0.29	0.27	0.33	0.72
CaO	1.99	1.24	0.10	0.85	0.96	2.32
Na ₂ O	3.48	3.28	3.80	3.11	3.70	3.09
K ₂ O	4.11	4.57	4.33	4.06	4.11	3.67
P ₂ O ₅	0.19	0.15	0.07	0.05	0.08	0.08

1) Data adapted from Taylor (1979)

2) Average value from table 2 excluding sample No. A, B and II' of Wangpuri district.

3) Data adapted from Collins et al. (1982)

考 察

王避里附近의 汾川花崗片麻岩은 錫礦化作用과 成因으로 密接한 關係가 있어 보인다는 點은 上述한 바와 같다.

Stemprok 와 Skuor(1974)는 錫礦床과 成因으로 密接한 關係를 갖는 花崗岩은 化學組成에 特徵이 있다고 報告한 바 있다. Table. 7는 汾川花崗片麻岩을 世界의 錫礦床과 관계있는 花崗岩과 世界의 花崗岩의 平均化學組成을 比較하여 본 것이다. 이 表에서 보여지는 바와 같이 世界의 錫礦床과 관계가 깊은 花崗岩의 化學組成은 世界의 花崗岩平均化學組成에 比하여 SiO₂ 와 K₂O 含量이 많고 其他成分은 모두 낮다. 汾川花崗片麻岩 있어서도 王避里附近 것은 SiO₂, K₂O 含量이 높고 其他成分은 모두 낮다. 錫礦床과 관계가 깊은 花崗岩에서 SiO₂ 와 K₂O [含量]이 높은 것은 硅化作用, 그라이체作用등의 交代作用에 의한 것이라 한다. (Stemprok 등 1974)

한편 White 등 (1977)은 花崗岩을 成因으로 1型과 S型으로 分類하고 錫礦化作用과 관계가 깊은 것은 S型花崗岩이라 報告하고 있다. 이번에 檢討된 汾川花崗片麻岩은 化學組成上의 特徵과 ACF 圖(Fig. 4)에서 보아 S型에 屬한다.

Kwak 등 (1982)은 最近에 스카른型의 W-Sn-F 鐵床의 關係火成岩으로 Collins(1982)의 A型花崗岩을 提

案하고 있다. Collins 등 (1982)는 오스트리아의 SiO₂ 含量이 비슷한 I型花崗岩과 A型花崗岩의 化學組成을 比較할 때 A型花崗岩은 CaO 含量이 낮은 反面에 Na₂O, K₂O, Al, F, Cl 含量이 높다고 報告하고 있다. (Table. 8) Table. 8에서 汾川花崗片麻岩은 다른 地域의 花崗岩에 比하여 F, Cl, Sn 含量이 顯著하게 높음을 알 수 있다. 이밖의 A型花崗岩에 特徵적인 Ga, Nb, Y, REE에 대하여 이번에는 檢討되지 않았으나 汾川花崗片麻岩은 CaO, Na₂O, K₂O, Al, F, Cl, 등의 含量으로 보아서는 A型花崗岩에 類似한 便이다. 이 問題에 대하여는 앞으로 檢討를 要한다.

Ishihara 등 (1977)에 의하면 日本의 錫礦床(그라이체型)과 密接한 關係를 갖는 花崗岩은 일메나이트系花崗岩에 屬한다. Ishihara (1977)는 錫礦床이 일메나이트系花崗岩에만 存在하는 까닭에 대하여 일메나이트系마그마에서 Sn은 Sn²⁺(0.93 Å)으로 存在하기 때문에 造岩礦物晶出時에 利用되지 않고 마그마殘液에 濃集되 었다가 最末期에 雲母類나 또는 獨立的으로 錫礦物(例 錫石)을 形成한다고 說明하고 있다. 일메나이트系花崗岩에는 F도 豊富하여 末期에는 F化合物로서도 存在하기 때문에 Sn의 濃集이 促進될 것이라고 한다. Sn의 根源에 대하여는 마그마發生時의 大陸地殼中の Sn濃度와 관계되는 것으로 생각되어지고 있다. (Ishihara; 1977, White; et al 1977)

Takahashi 등 (1980)에 의하면 일메나이트系花崗岩

Table 8. F, Cl, Sn Contents of Buncheon granite gneiss and other granites (in ppm)

Granite element	Buncheon granite gneiss			Cretacecus granite		World-wide granite	Earth Crust
	1	2	3	4	5	6	7
F	3,667	547	2,300	1,238	340	830~850	625
Cl	174	360	400	110	239	200	130
Sn	500	73	—	—	0.9*	3.5~3.6	2~3

1 ; Average of five granite gneiss samples of Wangpiri district (Moon, 1983).

2 ; Average of three granite gneiss samples of Ssangjeon district

3 ; Average of nine granite gneiss samples from table2.

4 ; Granites of Hwanggangri district from Park et al (1982).

5 ; Granites of Kyeongsang basin area from Jin (1981)

6,7 ; Data adapted from Taylor (1964).

* ; Data from Ishihara et al. (1981).

은化學組成上의 特徵으로 보아 White 등 (1977)의 S型花崗岩에 屬하는 것이 大部分이나 一部는 1型에 屬하는것도 있어 兩者는 完全히 一致되는 것이 아니라고 한다.

이번에 研究된 王避里附近의 錫礦床과 雙田重石礦床은 모두 汾川花崗片麻岩體에 近接하여 胚胎된 廣意의 페그마타이트內에 胚胎된 鑿床들이다. 錫礦化作用은 페그마타이트 生成後 導入된 流體에 의한 그라이체ン化作用과 알바이트化作用에 隨伴된 것이다.

重石礦化作用도 페그마타이트 生成後에 導入된 流體에 의하여 이루어진 것이다.

雙田重石礦床의 南쪽 8 km 에도 汾川花崗片麻岩體에 近接하여 玉房重石礦床이 있다. 李商萬(1967)은 이 鑿床이 페그마타이트礦床으로서 主要礦石礦物은 角閃岩體內의 鑿脈에서만 產出된다고 報告하고 있다. 尹正守(1979)는 이 鑿山 南部礦體의 鑿脈을 角閃岩體內에 胚胎된 灰重石脈과 角閃岩體와 遠南層과의 接觸部에 胚胎된 合重石石英脈으로 分類하였다. 重石脈의 鑿石礦物은 灰重石, 融石, 黃銅石, 磁硫鐵石이고 合重石石英脈의 鑿石礦物은 灰重石, 鐵長石, 黃銅石, 磁硫鐵石, 融石으로서 合重石石英脈이 灰重石脈보다 後에 形成되었다 한다. 그러나 두 鑿脈의 脉石礦物의 모오드組成(尹, 1979의 Table. 2)을 보면 모두 石英, 斜長石, 角閃石을 主로 하고 少量의 黑雲母로 되어 있어 두 鑿脈은 모두 廣意의 페그마타이트型礦床에 屬할 것으로 생각된다.

汾川花崗片麻岩과 錫礦床, 重石礦床에서 產出되는 雲母類에 대한 絶對年齡測定은 아직 이루어지지 않았다. 그러나 이를 鑿床의 產出狀態, 鑿物共生關係, 流體包有物, 關係火成岩의 性質등으로 보아 이地域의 錫,

重石礦化作用은 白聖紀末의 우리나라의 錫, 重石礦化作用보다는 年代가 보다 더 오랜, 보다 깊은 곳에서 이루어진 것으로 생각된다. 따라서 이地域은 우리나라에서는 하나의 獨立的인 重石의 錫礦床區로 看做되어야 할것으로 생각된다.

結 言

1. 汾川花崗片麻岩은 蔚珍, 奉化地域의 錫, 重石礦化作用과 成因의으로 關係가 깊은 것으로 化學組成上의 特徵으로 보아 S型花崗岩에 屬할것으로 보인다. 그러나 王避里附近의 汾川花崗片麻岩은 Collins 가 提案한 A型花崗岩에 屬할 可能성이 있다.

2. 王避里地域의 錫礦化作用은 페그마타이트 生成後 導入된 鑿化流體에 의한 그라이체ن化作用과 알바이트化作用과 함께 이루어진 合錫페그마타이트 그라이체ن礦床이다.

3. 雙田地域의 重石礦化作用은 페그마타이트 生成後 二次에 걸쳐 導入된 鑿化流體에 의하여 이루어졌다. 主要礦化作用은 첫번째 導入된 鑿化流體에 의하여 이루어졌으며 이期間中에 生成된 石英中の 初生流體包有物은 氣體包有物이다. 이 包有物의 均一化溫度는 397~441°C이고 鑿化流體의 鹽濃度는 5.1~6.0wt. % NaCl이다. 主要礦化作用에 生成된 融石中の 流體包有物 均一化溫度는 191~297°C이고 鹽濃度는 3.5~8.3 wt. % NaCl이다.

4. 이地域의 錫, 重石礦化作用은 우리나라 中生代末의 重石, 몰리브덴, 錫礦化作用과는 鑿石의 鑿物組成, 組織, 流體包有物, 鑿物의 帶狀分布, 生成時期, 生成深度 등에 있어 判異하다. 따라서 이地域은 우리나라에 있어서는 하나의 獨立된 錫, 重石礦床區로 看做되

어야 할것으로 생각된다.

参考文献

- Collins, W.J., Beams, S.D., White, A.J.R. and Chappell, B.W. (1982) Nature and origin of A-type granites with particular reference to southeastern Australia. *Contr. Mineral petrol.* V. 80 p. 189~200.
- 大韓礦業振興公社(1974) 韓國의 鐵床 V. 6 p. 47~65.
- Ishihara, S. (1977) The magnetite-series and ilmenite-series granitic rocks. *Mining Geol.* V. 27 p. 293~305.
- Ishihara, S., Lee, D.S. and Terashima, S. (1981) Tin abundance of Mesozoic granitoids in southern Korea. *Mining Geol.* V. 31 p. 327~332.
- Jin, M. S. (1981) Petrology and geochemistry of Cretaceous granitic rocks in southern Korea. Ph. D. thesis, Seonl National Univ.
- 金正澤, 신재봉(1966) 王避里錫礦山調査報告, 地質礦床研究調査報告 V. 9 p. 115~133.
- 金玉準, 洪萬燮, 金起泰, 朴喜寅(1963) 三斤里地質圖幅 및 說明書, 國立地質調查所
- 金玉準(1969) 玉房重石礦床의 成因에 關하여, 鐵山地質 V. 2 p. 73~75.
- 金玉準(1971) 南韓의 新期花崗岩類의 貢入時期와 地殼變動, 鐵山地質 V. 4 p. 1~10.
- 金善億, 金裕東, 金泰永, 金任鶴, 曹明承, 梁政一(1979) 蔚珍地域 雙田重石礦化帶의 地質礦床 및 開發經濟性 調查研究. KIGAM Bulletin-05 p. 7~87.
- Kim, S. J. (1977) Tin mineralization in Korea. *Symposio Internacional del Estano*, Ministeno de Minera Y. Metalurgia, Lapaz-Bolivia.
- 金洙鎮, 朴喜寅, 李商萬(1981) 奉化-蔚珍地域의 W, Sn 및 Mn 矿化作用에 關한 研究. 서울大 自然科學綜合研究所.
- Kwak, T. A. P. and White, A. J. R. (1982) Contrasting W-Mo-Cu and W-Sn-F skarn types and related granitoids. *Minining Geol.* V. 32 p. 339~351.
- Lee, I. S. and Park, H. I. (1982) Fluid inclusion studies on the Wolak tungsten-molybdenum deposits, Korea. *Jour. Korean Inst. Mining Geol.* V. 15 p. 17~32.
- 李鍾革(1958) 順鏡錫礦床 調査報告. 地質礦床調査研究報告 V. 2. p. 75~90.
- Lee, S. M. (1967) Geology and ore deposits at the Okbang scheelite mine, North Kyeongsang province, Korea, *Jour. Geol. Soc. Korea* V. 3 p. 1~20.
- 文相鎬(1983) 王避里錫礦床의 成因에 關한 研究, 서울大學校 穩士學位論文
- 岡村三郎, 池嶺蔓(1980) 月岳礦山產 鐵當간重石, 日本礦山地質, V. 30, p. 38.
- 朴喜寅, 李商萬, 李政成, 金洙鎮(1981) 黃江里地域 金屬礦床의 成因에 關한 研究. 地質學會誌 V. 17 p. 201~222.
- Smirnov B. (1969) 新版礦床地質學, 岸本文男譯. ラティス
- Takahashi, M., Aramaki, S. & Ishihara (1980). Magnetite-series/Illmenite-series vs. I-type/S-type granitoids. *Mining Geol.* sp. iss. No. 8, p. 13~28.
- Taylor, R. G. (1979). Geology of tin deposits, Elsevier.
- White, A. J. R. and Chappell, B. W. (1977) Ultra-metamorphism and granitoid gneiss, *Tectonophy.* V. 43. p. 7~22.
- 尹錫台, 朴喜寅(1983) 雙田重石礦床의 礦物共生과 流體包有物, 鐵山地質 V. 15 p. 221~233.
- 尹正守(1979) 玉房重石礦床의 成因에 關한 研究. 鐵山地質 V. 12 p. 181~195.